

미소 축·구멍 가공용 미세 방전 가공기의 개발

Development of Micro-EDM Machine for Microshaft and Microhole Machining

김 규만(서울대 대학원), 김 보현(서울대 대학원), 주 종남(서울대 기계설계학과)

ABSTRACT

It is difficult to machine microparts, such as microshaft and microholes, by conventional machining. Such micropart can be easily machined by EDM because it's machining force is very low. In micro-EDM, the precise electrode movement and discharge energy control are important. Therefore, high precision motion stage and EDM device with high performance is necessary. In this research, a new EDM machine was developed and microshaft and microhole, with various shape and size, was machined.

Key Words : micro-EDM machine, WEDG, microshaft, microhole

1. 서론

보다 정밀하고 고기능을 가지는 제품에 들어가는 각종 소형 부품들의 정밀한 가공을 위해서는 마이크로 가공 기술의 개발이 우선적으로 필요하게 되었다. 실제적으로 0.3mm이하의 형상 치수를 가지는 흄, 구멍, 축 등의 기본 가공공정에 대한 요구는 증가하고 있는 추세이나 범용 기계를 이용한 가공에는 한계를 보이고 있으므로 특수한 가공기술의 개발이 활발히 이루어졌다. 이들 연구 중 대부분은 반도체 제작공정을 응용한 가공이 주류를 이루어 왔다. 그러나 이러한 방법은 미소한 패턴을 쉽게 만들 수 있는 장점이 있으나 가공 가능한 두께에 한계를 보였다. 따라서 다양한 3차원적인 구조를 가공하는 데에는 또 다른 가공법을 필요로 하게 되었으며, 미세 방전 가공기술은 이를 극복하기 위하여 개발된 방법 중의 하나이다.

미세방전가공은, 기존의 방전 가공기술을 응용하여 단발 방전에너지의 극소화, 정밀화된 위치 결정, 방전주기의 극소화 등을 수행함으로써 형상치수가 수십 μm 에서 수백 μm 에 이르는 3차원 부품을 가공하는 기술로써, 재료의 제한이 적고 비교적 강성이 크고 다양한 형상을 지닌 3차원 구조물을 손쉽게 가공할 수 있다는 장점을 지니고 있다.

미세방전을 이용한 미소구멍가공에 대한 연구는 일본을 중심으로 활발하게 이루어져 왔다. Masuzawa 등은 와이어 방전 연삭(WEDG)을 제안하고, 이를 이용하여 미세축을 가공하고 이를 다시 전극으로 사용하여 미소 드릴링에 이용하는 방법을

개발하였다^(1,2,3). Mohri 등은 와이어방전에 사용되는 와이어 전극을 피에조 액추에이터를 사용하여 직접 이송함으로써 0.1mm에서 0.5mm의 미소 드릴링하는 방전가공기를 개발하였다⁽⁴⁾. Higuchi 등도 역시 피에조 액추에이터를 이용한 충격 이송 장치(impact drive system)를 개발하여 와이어 전극을 직접 이송시킴으로써 방전 드릴링을 수행하는 장치를 개발하였다⁽⁵⁾. Mohri와 Higuchi 방법은 가공용 전극으로 와이어 전극을 사용함으로써 전극 가공에 따른 시간을 줄일 수 있어 실용적이다 하겠으나 와이어 전극의 형상치수 한계 때문에 극미세 구멍의 가공에는 한계를 보이고 있다. 본 연구에서는 와이어 방전연삭법을 이용한 미세 방전가공 장치를 개발하고 이를 이용하여 미세축, 미소 구멍 및 여러 형상의 구멍을 가공하였다.

2. 와이어 방전 연삭

방전가공이 진행됨에 따라 가공물뿐만 아니라 전극 또한 역으로 가공되어 전극 소모가 발생한다. 전극소모는 가공물의 형상오차에 직접적인 영향을 주며, 특히 가공물의 크기가 작은 경우에는 상대적으로 그 영향은 증가하게 된다. 마스자와는 이와 같은 전극소모를 없애기 위하여 와이어 방전 연삭법(WEDG)을 제안하고, 이를 미세축가공에 적용하였다⁽¹⁾. Fig. 1은 와이어 방전 연삭의 원리를 보이고 있다. 방전가공은 와이어 가이드를 따라 일정한 속도로 움직이는 와이어 전극과 가공물 사이에서 발생한다. 가공 중에 와이어 전극은 계속적으로 공급되

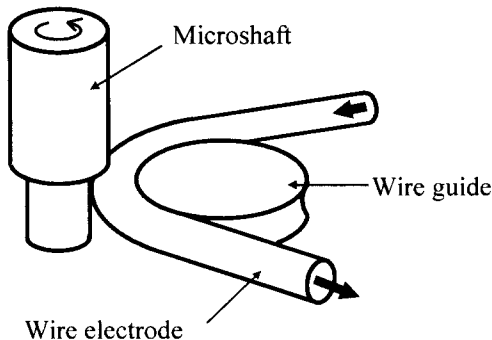


Fig.1 Principle of WEDG

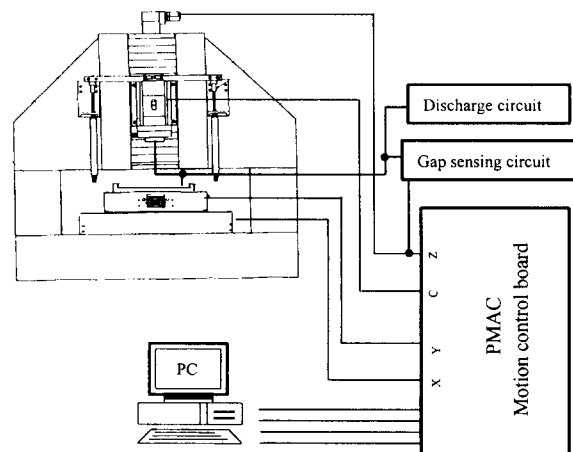


Fig.2 Schematic diagram of machining

므로 전극의 소모의 영향을 무시 할 수 있다. 또한 방전영역이 좁으므로 미세 가공이 용이하므로 편 계이지 등의 미세축 가공에 응용될 수 있다. 본 연구에서는 미세축 및 미세 구멍 가공용 전극의 제작을 위하여 와이어 방전연삭법을 사용하였다.

2. 장치 구성

Fig. 2는 본 장치의 구조도를 보이고 있으며, Fig. 3은 장치의 본체를 보이고 있다. 본 가공기는 와이어 방전연삭(WEDG, wire electro discharge grinding)과 방전 드릴링 등을 수행하기 위하여 X, Y, Z축과 C축(주축 회전축)의 4축을 제어하였으며 제어용 보드로는 Delta tau사의 PMAC 보드를 사용하였다. 이송 정밀도를 높이기 위하여 X, Y, Z, C 축 모두 정압 공기슬라이드를 채택하였다.

X축, Y축의 구동 모터로는 리니어 직류모터

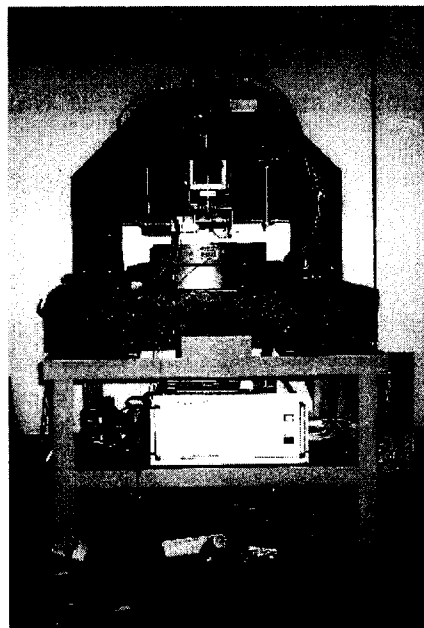


Fig. 3 Micro-EDM machine

(linear DC motor)를 사용하였다. 위치 결정 정밀도를 높이기 위하여 리니어 스케일을 사용한 폐루프 위치 제어를 하고 있다. 두 축의 레졸류션(axis resolution)은 모두 $0.02\mu\text{m}/\text{count}$ 이며 최대 스트로크(stroke)는 100mm이다.

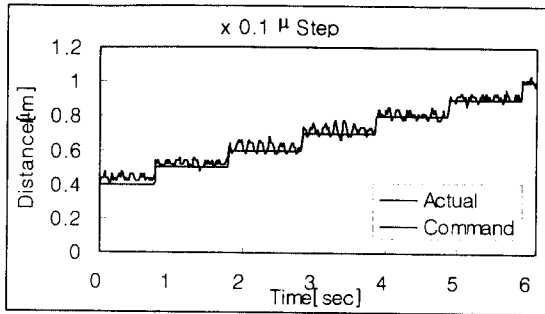
Z축은 위치 결정을 위한 제어뿐만 아니라 가공중의 방전상태의 제어 기능도 포함해야 한다. 따라서 보다 정밀한 이송제어가 필요하므로 $0.01\mu\text{m}/\text{count}$ 의 리니어 스케일을 이용하여 폐루프 위치제어를 한다. 가공 중 방전회로의 전류를 측정하여 전극과 공작물의 간극을 측정하여 Z축 제어신호로 사용함으로써 일정한 간극을 유지하도록 하였다. 최대 스트로크는 100mm이고, 구동은 직류 서보 모터(DC servo motor)와 리드스크류(lead screw)를 사용하여 수행된다.

C축은 회전속도와 각도의 설정에 필요하며 로터리 엔코더와 DC servo motor를 사용하여 회전을 제어한다. 각도 분해능은 2048 counter/degree이며 최고회전수는 25000 rpm 이다.

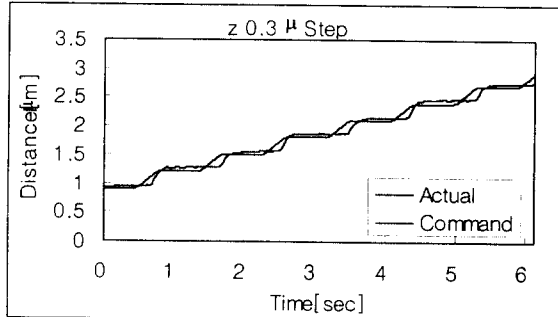
3. 주요부의 설계 및 평가

3.1 위치결정 및 이송부

가공기에 사용되는 각 축의 이송정밀도를 테스트



a) X axis



b) Z axis

Fig. 4 Result of step feeding test

하기 위하여 스텝이송 시 명령위치와 실제위치를 측정하였다. 스텝의 거리를 $0.5\mu\text{m}$, $0.3\mu\text{m}$, $0.1\mu\text{m}$, $0.05\mu\text{m}$ 로 변화시키면서 이송속도 0.1mm/sec , 가속시간 1msec 으로 이송한 후에 1초간 정지상태를 유지하고 다시 이송함을 반복하면서 위치를 측정하였다.

Fig. 4는 X축과 Z축의 이송정밀도를 측정한 결과이다. X축의 경우, 스텝이송량 $0.3\mu\text{m}$ 까지는 좋은 명령 추종특성을 보이다가 스텝 이송량 $0.1\mu\text{m}$ 에서 약간의 멀림이 발생하였다. 그 이후의 스텝 이송량에서는 이러한 멀림은 계속 나타나며 그 폭은 $0.1\mu\text{m}$ 에서의 경우와 같았다. 즉 이 오차는 외부에서 오는 진동으로 생각할 수 있으며, 이송한계는 $0.1\mu\text{m}$ 로 판단할 수 있겠다. Y 축에서도 이와 같은 경향을 보이고 있다. Z축은 $0.3\mu\text{m}$ 까지는 정확한 추종을 보였다. 하중에 의한 영향으로 약간의 정직위치오차를 보이고 있으며 약간의 자연현상을 보이고 있으나 가공에는 큰 영향은 없을 것으로 판단된다. 테스트 결과 이송시스템의 위치 결정 및 이송 특성은 만족스러운 특성을 가지고 있음을 알 수 있었다.

3.2 주축부

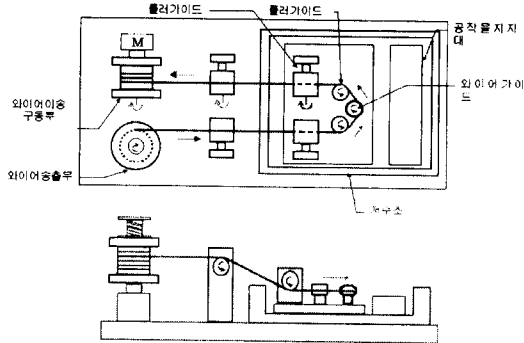


Fig. 5 Wire electrode driving device

전극을 회전시키면 가공하는 동안에 전극 성분이 공작물에 부착되는 것을 줄여줄 뿐만 아니라 탄소 및 가공분 등의 가공부산물의 배출을 쉽게 하여 보다 안정된 방전을 가능하게 한다. 가공시 공작물과 전극간의 간극은 수 μm 이므로 주축부의 회전정밀도는 중요하므로 본 장치에서는 정압 공기 주축(static air spindle)을 채택하였다. 회전정밀도는 $0.05\mu\text{m}$ 이내이고 최고회전수는 25000rpm이다.

3.3 와이어 가이드 및 와이어 주행장치

와이어 가이드를 따라 와이어 전극을 안정한 속도로 주행시키는 것은 안정된 방전을 일으키는 데에 중요하다. 와이어 주행장치의 구조도는 Fig. 5와 같다. 와이어 전극은 직류 유도 모터로 구동되어 와이어 송출부 롤러로부터 롤러가이드와 와이어 가이드를 통하여 주행된다. 주행속도는 40mm/min 을 유지하였으며 송출부 롤러에는 마찰 디스크를 장착하여 일정한 장력을 유지하였다. 와이어 가이드의 재질로는 내마모성이 강한 SKD11을 사용하였다.

3.4 방전회로

미세구조의 방전가공에서는 단발 방전에너지를 최소화하여 단발 방전 가공 시 제거량을 작게 하고, 대신 펄스폭을 작게 하여 가공속도를 늘여야 한다. 이러한 이유로 본 장치는 방전회로로 소혈가공기에 널리 사용되는 RC회로를 사용하였다. 그리고 공작물과 전극간의 간극측정 회로를 이용하여 간극을 측정하고 이 신호를 Z축에 입력하여 제어함으로써 간극의 단락을 피하고 가공중 일정한 간극을 유지하도록 하였다.

4. 가공 실험

개발된 가공기를 이용하여 미세축의 가공, 미세구멍의 가공 및 여러 가지 형상의 구멍 가공 실험을 수행하였다. 실험에 사용된 재질 및 가공 조건은 Table. 1과 같다.

		Shaft machining	Hole machining
Material	Electrode	Brass wire	WC alloy
	Work-piece	WC alloy	Brass SUS 304
Discharge circuit	E	100 V	
	R	1 kΩ	
	C	varies	
Spindle speed		600 rpm	
Feed speed		5 μm/sec	

Table. 1 Machining conditions and material used in experiment

Fig. 6은 직경 $40\mu\text{m}$, 길이 $900\mu\text{m}$ 의 미세장축을 가공한 예를 보이고 있다. 우선 직경 $100\mu\text{m}$, 길이 $1000\mu\text{m}$ 의 형상으로 황가공을 수행하고, 이를 다시 직경 $40\mu\text{m}$, 길이 $900\mu\text{m}$ 로 사상 가공하였다. 축전용량은 1000 pF (황삭), 100 pF (정삭)을 사용하였다.

Fig. 7은 직경 $10\mu\text{m}$, 길이 $300\mu\text{m}$ 의 미세축을 가공한 예를 보이고 있다. 우선 직경 $100\mu\text{m}$, 길이 $500\mu\text{m}$ 의 형상으로 황삭 가공을 수행하고, 이를 다시 직경 $10\mu\text{m}$ 로 정삭 가공한다. 축전용량은 1000 pF (황삭), 100 pF (정삭)을 사용하였다. 절연액으로 백등유를 사용하였기 때문에 가공 후 절연액에서 분해되어 생긴 탄소가 끝단 부분에 약간 묻어 있는 것을 관찰할 수 있고, 원재료 부분에는 역시 탄소가 심하게 묻어서 응고되어 있다. 가공물의 직진도는 좋음을 알 수 있다.

Fig. 8은 직경 $20\mu\text{m}$, 깊이 $50\mu\text{m}$ 의 미세구멍을 가공한 예를 보이고 있다. 초경합금 봉을 가공하고 이를 전극으로 이용하여 스텐레스강(SUS 304)에 가공하였다. 극성은 봉 전극을 음, 가공물을 양으로 사용하였다. 축전용량은 50 pF 를 사용하였다. 작은 축전용량으로 가공하였기 때문에 구멍내부의 표면거칠기는 양호하며 구멍입구 주위에는 가공 시 배출된 가공 부산물이 있다. 구멍의 경계부분은 깨끗하게 가공된 것을 볼 수 있다.

Fig. 9는 활동에 직경 $30\mu\text{m}$, 깊이 $200\mu\text{m}$ 가공깊이



Fig.6 Example of machined micro shaft
(Diameter $40\mu\text{m}$, Length $900\mu\text{m}$)

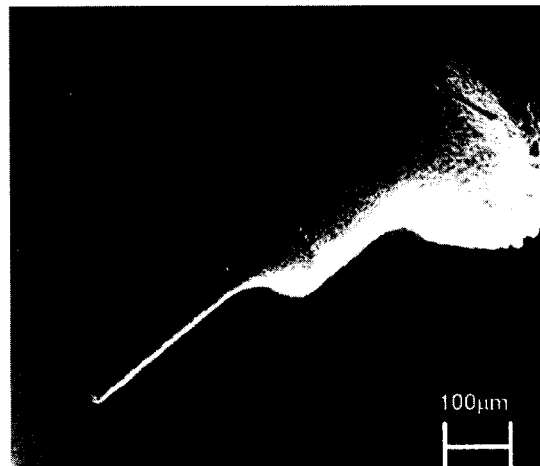


Fig.7 Example of machined microshaft
(Diameter $10\mu\text{m}$, Length $300\mu\text{m}$)

대 직경비(aspect ratio) 6의 미세구멍을 가공한 예를 보이고 있다. 극성은 앞의 경우와 같으며, 축전용량은 10 pF 를 사용하였다.

Fig. 10은 두께 $100\mu\text{m}$ 인 활동판에 사각형과 삼각형 구멍을 관통한 사진이다. 삼각형의 변 길이는 $100\mu\text{m}$ 이고 사각형구멍은 $140\mu\text{m}$ 이다. 전극은 주축을 고정시키고 한 면을 방전가공한 후 주축을 일정한 각도로 회전시키고 가공을 반복한다.

5. 결론

본 연구에서는 형상치수 $300\mu\text{m}$ 이하의 미소형상물의 가공을 목적으로 미세 방전가공을 이용한 가공시스템을 개발하였다.

이를 위하여 지령단위 $0.02\mu\text{m}$ 의 이송시스템을 부

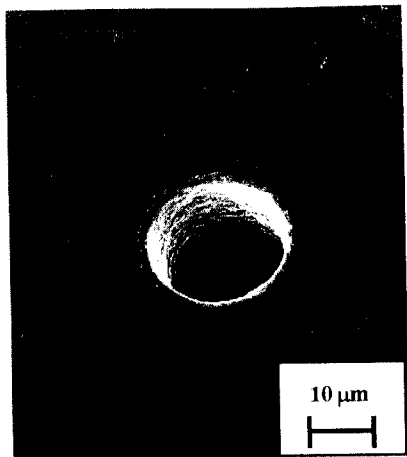


Fig.8 Machined microhole
(Diameter 20 μm , Depth 50 μm ,
SUS304)

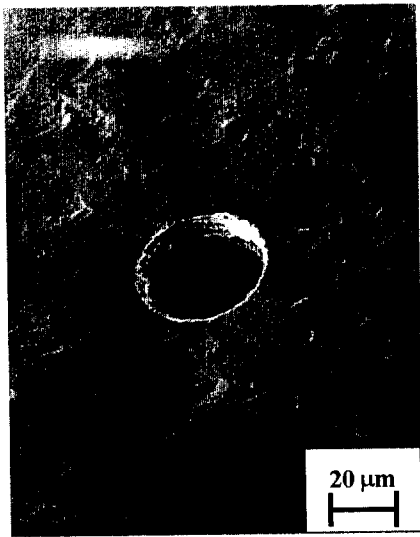


Fig.9 Machined microhole
(Diameter 30 μm , Depth 200 μm ,
Brass)

착하고 테스트를 수행한 결과 0.1 μm 이내의 이송정밀도를 확보하였음을 확인하였다. 또한 와이어방전연삭을 이용하여 직경 10 μm 의 극미세축을 가공하였으며 미세장축 및 여러 가지 형상의 미세축의 가공이 가능하였다. 미소구멍의 경우 직경 20 μm 의 극 미세구멍과 깊이 대 직경비 (aspect ratio) 6, 직경 30 μm 인 미세장공과 그 이외의 여러 가지 형상의 구멍 가공이 가능하다.

본 가공기술을 사용하면 기존의 가공으로는 불가

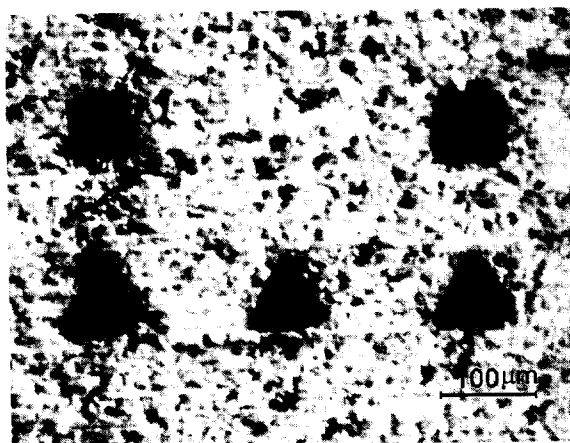


Fig.10 Machined micro polygon hole

능했던 직경 200 μm 이하의 미세 구멍 가공과 미세축 가공으로의 활발한 응용이 가능할 것으로 생각된다.

후기

본 연구는 통상산업부와 과학기술처 및 정보통신부에서 시행한 선도기술개발사업의 기술개발 결과이다.

Reference

1. T. Masuzawa, M. Fujino, K. Kobayashi, "Wire Electro-Discharge Grinding for Micro Machining," Annals of the CIRP, Vol. 34, pp. 431-424, 1985
2. T. Masuzawa, J. Tsukamoto, M. Fujino, "Drilling of deep microholes by EDM," Annals of the CIRP, Vol. 38, pp. 195-198, 1989
3. T. Masaki, T. Masuzawa, "Micro electro discharge machining and its application," IEEE, pp. 21-26, 1990
4. N. Mohri, H. Morita, N. Saito, "Development of an electrical discharge drilling device by using a new method for direct drive of electrode," JSPE, Vol. 58, No. 12, pp. 2063-2068, 1992
5. T. Higuchi, K. Furutani, et.al, "Development of pencil size electro-discharge machine," JSPE, Vol. 57, No. 5, pp. 910-916, 1991